

NEKATERE ZNAČILNOSTI ORUDENENJA V RUDIŠČU RUTE

Danilo Jelenc

S 7 tabelami in z 10 slikami

Rudišče Rute pri Bleibergu pod Dobračem pripada mineralizirani coni wettersteinskih apnencev, ki potekajo v smeri E—W in tvorijo številne grude.

Jamo in površino so kartirali Sueß, Mojsisovics, Hupfeld, Frech, Geyer, Tornquist, Stier in Holler. Zlasti zadnja dva sta pojasnila geologijo ozemlja mineralizirane cone. Podlago triade tvorijo spodnjekarbonski peščenjaki, drobe in skrilavci. Triada se pričenja z rdečimi werfenskimi peščenjaki, katerim sledi nekaj 100 m debela serija gutensteinskih skladov, temnih laporjev, skrilavcev in temnih dolomitov. Nad temi leži 600 m debela serija svetlih, z bitumenom revnih dolomitov. Ti dolomiti prehajajo v wettersteinske apnence, ki predstavljajo ca. 500 m debelo serijo skladov. Zgornji horizont wettersteinskih apnencev je dolomitiziran. Nad njim sledi rabeljski skladi. Sestavlja jih tri po 20—25 m debele plasti karditskih skrilavcev z 0,25 m debelimi oolitnimi plastmi v talnini ter z vmesnimi polami močno bituminoznega dolomita, ki doseže debelino do 50 m. Nad karditskimi skrilavci leži močno bituminozen glavnji dolomit, ki vsebuje 3—4 vložke oljnih skrilavcev.

Severno od Dobrača poteka v alpski smeri tektonski jarek, ki ga sekajo WNW potekajoča prelomnica Dobrača, ob kateri je zahodni del tektonskega jarka pomaknjen proti severozahodu, vzhodni pa proti jugovzhodu. Med vzhodnim koncem zahodnega dela tektonskega jarka in zahodnim koncem vzhodnega dela jarka leži na severni strani dobraške prelomnice odlomljen del vzhodnega jarka v obliki trikotne grude, katere osnovnica leži na dobraški prelomnici.

Za mineralizirano cono Pb-Zn v rudišču Rute je značilna vrsta prelomov in razpok.

Prvo vrsto prelomov sestavljajo štirje močni in več manjših vmesnih prelomov severozahodne smeri. Po Hollerju so ti prelomi nastali tako, da je odtrgana trikotna gruda glavnega dolomita pritiskala na wettersteinske apnence, ki so se zaradi tega pomikali proti severozahodu.

Poleg severozahodnih nastopajo še mlajši severovzhodni prelomi.

Mineralizacija nastopa ob križiščih severozahodnih prelomov s tako imenovanimi žlahtnimi ploskvami, ki jim prej niso posvečali mnogo

pozornosti. Podrobno petrografsko kartiranje je pokazalo, da so te ploskve razdelile wettersteinski apnenec na posamezne sklade. Paleontološko, mikrokemično in mikropetrografsko proučevanje kaže, da imajo žlahtne ploskve velik praktičen in teoretičen pomen.

Prvotno so usmerjali jamska raziskovalna dela v nižja obzorja na podlagi razdalje rudnega rokava od karditskih skrilavcev na poznanem obzorju.

Odkar se pri sledenju novih rudnih rokavov niso več ravnali po bližini karditskih skrilavcev, temveč po žlahtnih ploskvah, se je znatno zmanjšala skupna dolžina raziskovalnih rovov in je bilo raziskovanje bolj uspešno.

Razen tega karditskih skrilavcev v normalni legi ni bilo vedno možno ločiti od karditskih skrilavcev, ki so bili vtisnjeni v razpoke ob prelomih in narivih. Zato so jih pri usmerjanju sledilnih rovov med seboj zamenjivali, kar je še bolj povečalo obseg raziskovalnih del.

S preusmeritvijo v načinu sledenja po žlahtnih ploskvah so do leta 1935 prihranili 30 % na sledilnih rovih pri prehodu od petega na šesto obzorje in 37 % pri prehodu od petega na sedmo obzorje.

Žlahtne plasti so izredno važne za orudenjenje, zato navajamo njihove petrografske značilnosti, kolikor jih moremo določiti megaskopsko.

Pod karditskimi skrilavci imamo sledeči značilni profil:

- | | | | |
|----|-----------|----------------------------------|--|
| 1. | 0,1—2,5 m | oolitna plast. | |
| 2. | 12 m | vmesni apnenec. | |
| 3. | 1—1,5 m | mlečno-brečna
žlahtna ploskev | a) mlečnobela dolomitna plast,
b) vmesni luknjičavi svetlorjavi apnenec z belimi krpicami,
c) breča z zelenkastimi in črnnimi glinastimi delci ter rjavim apnenim lepilom. |
| 4. | 9 m | vmesni apnenec | vsebuje tako imenovano raztrgano zeleno brečno plast.
V zgornjih delih te plasti so sivkastozelena in bela vlakna, v spodnjem pa je vrsta vložkov nepravilne oblike. |
| 5. | 1 m | zeleno-brečna
žlahtna ploskev | a) zelena lapornata plast, ki je često spremenjena v zeleno brno,
b) vmesni apnenec,
c) breča s sivimi in rjavimi delci. |
| 6. | 24 m | vmesni apnenec | vsebuje dve mlečno-brečni ploskvi. |

7.	7—8 m	mlečno-modra žlahtna ploskev	<p>a) mlečnobeli trdni dolomit, ponekod ga v krovnini in talnini sprembla črna ali rjava breča,</p> <p>b) vmesni rijavi apnenec, ki vsebuje votline, izpolnjene s kalcitom,</p> <p>c) modra plast.</p>
8.	75 m	vmesni apnenec.	
9.	1 m	megalodontna plast	

predstavlja izrazito školjkoviti horizont temnosivega do rijavkastega, nekoliko dolomitiziranega apnенца z *Megalodus triqueter*.

Megalodontna plast navadno zaključuje rudonosni del wettersteinskega apnенца. Pod njo se vrste debele plasti zelenega laporja s posameznimi mlečnobelimi dolomitnimi vložki. Te plasti sličijo rudonosnim plastem v krovnini, toda orudenele so le izjemno v revirju »Maks« v skrajnjem zahodnem delu rudišča Rute.

V 1. tabeli navajamo kemični sestav posameznih plasti wettersteinskega apnенца:

1. tabela

Kemični sestav žlahtnih ploskev in vmesnega apnenca

Žlahtna ploskev	SiO ₂	BaSO ₄	CaCO ₃	MgCO ₃	Fe ₂ O ₃	Al ₂ O ₃	Zn	Σ	CaCO ₃ + MgCO ₃ = 100
Mlečna plast	2,18	1,34	52,61	39,83	0,80	1,64	0,32	98,72	57 43
Brečna plast	0,22	0,10	65,58	27,12	1,03	1,50	2,38	98,83	71 29
Modra plast	2,66	0,80	81,92	9,46	1,20	1,94	0,86	98,84	89,5 10,5
Zelena plast	4,06	3,04	57,12	30,59	1,20	3,50	0,22	99,73	65 35
Vzorci iz 75 m debelega vmesnega apnенца	0,15	0,10	96,96	2,42	0,16	0,04	0,15	99,98	98 2
Vzorec iz talnine megalodontne ploskve	0,86	0,62	89,70	7,34	0,56	0,25	0,54	99,87	92 8

Če primerjamo žlahtne ploskve in vmesni apnenec, opazimo, da so plasti žlahtnih ploskev facialno bolj pestre in heterogenega sestava, vmesni apnenec pa je bolj homogen. Tudi kemične analize kažejo razlike, posebno glede glinice, železovega oksida in organskih snovi. Najvažnejša pa je razlika v količini dolomita. Razmerje med CaCO₃ in MgCO₃ niha pri žlahtnih ploskvah, ki so vodilne za orudnenje, od 29 do 43 % MgCO₃ in od 71 do 57 % CaCO₃; pri ostalih ploskvah in vmesnem apnенцу pa od 2 do 8 % MgCO₃ in od 98 do 92 % CaCO₃. Za dolomit

žlahtnih ploskev je značilna enakomerno drobnozrnata struktura in plastovita krojitev.

Slične primere, da nastopa mineralizacija v stratigrafskem horizontu le v kameninah določenega petrografskega in kemičnega sestava, najdemo tudi v drugih rudiščih. V zvezi s tem je Olaf Rove (1947) v svoji razpravi opozoril med drugim tudi na permeabilnost kamenin. Kasneje je Ernest L. Ohle (1951, 668—673) objavil razpravo, v kateri navaja eksperimentalne podatke o permeabilnosti¹ apnencev in dolomitov cinkovih rudišč v East Tennessee Zinc District — ZDA. Preiskal je okoli 1000 vzorcev prikamenine in prišel do zaključka, da kamenine v različni meri propuščajo rudne raztopine.

2. tabela

Razlike v permeabilnosti z naraščajočim povprečnim obsegom zrn

Št. vzorca	% kalcita	% dolomita	% vsega karbonata		Netopno	Fe, Al, Mn	Perme- abilnost ¹
			kalcit	dolom.			
13	92,14	4,11	99,0	1,0	3,2	0,4	4×10^{-6}
43 — 2	89,30	2,74	97,0	3,0	6,4	0,5	$6,5 \times 10^{-6}$
47 — 2	92,79	3,20	96,6	3,4	1,8	0,5	$3,2 \times 10^{-6}$
90	91,49	4,57	95,2	4,8	3,3	0,3	6×10^{-7}
34	79,71	10,97	87,6	12,4	10,7	0,9	$4,8 \times 10^{-4}$
92	84,26	12,34	87,2	12,8	3,1	0,3	$7,2 \times 10^{-5}$
15 — 1	77,26	15,08	83,6	16,4	6,7	0,7	$8,3 \times 10^{-4}$
14 — 1	63,76	26,61	70,5	29,5	8,4	0,9	$4,3 \times 10^{-5}$
44 — 1	15,25	61,24	20,0	80,0	21,3	1,6	9×10^{-5}
45 — 1	11,48	58,04	16,5	83,5	27,4	2,7	4×10^{-4}
12 — 2	7,85	53,93	12,7	87,3	6,4	1,2	2×10^{-2}
93	11,21	84,08	11,8	88,2	2,7	1,2	10×10^{-4}
48 — 2	10,5	81,8	11,3	88,7	5,0	1,6	$1,4 \times 10^{-3}$
33 — 1	6,24	79,52	7,3	92,7	11,8	1,2	$3,9 \times 10^{-2}$

Navedeni Ohlejevi podatki za permeabilnost apnencev in dolomitov v absolutnih vrednostih sicer ne ustrezajo razmeram v Rutah. Toda na podlagi različnega petrografskega in kemičnega sestava kamenin v plasteh žlahtnih ploskev in vmesnega apnence moremo sklepati, da obstajajo razlike v permeabilnosti tudi v tem rudišču. Tudi drugi avtorji, n. pr. Blumer (1922), na splošno ugotavljajo razlike v poroznosti med apnenci in dolomiti.² Eksperimentalna določitev permeabilnosti žlahtnih

¹ Permeabilnost je izražena v milidarcyjih.

² Glej 3. tabelo na str. 173.

ploskev in vmesnega apnenca bi te razlike nedvomno potrdila tudi v tem rudišču.

Zaradi razlike v permeabilnosti so mineralne raztopine pronicale po poteh najmanjšega odpora, ki so jih predstavljali preseki dolomitiziranih žlahtnih ploskev in prelomov. Ti preseki imajo smer jugovzhod—severozahod in tonejo proti jugovzhodu v globino. (Smer prelomov je severozahod—jugovzhod, smer žlahtnih ploskev pa vzhod—zahod z vpodom proti jugu). Vzdolž presekov so mineralizatorji metasomatsko nadomeščali apnenec, ki je bil v kemičnem oziru najmanj odporen. Oba pogoja, prvi odvisen od fizikalnih, drugi od kemičnih lastnosti kamenin, sta ustvarila značilno obliko rudnih rokavov.

3. tabela

Blumerjeva tabela poroznosti

Kamenina	Srednja velikost vol. por v %
Kararski marmor	0,11 — 0,22
Apnenec	0,67 — 2,55
Dolomit	1,5 — 22,2
Dolomit Pine Creek	12,8
Oolitski apnenec	13,6 — 16,9

Rudne raztopine so prinašale tudi magnezijev karbonat, ki je povzročal vzdolž rudnih rokavov dolomitizacijo wettersteinskega apnenca. Na ta način je nastal neenakomerno zrnat, luknjičav dolomit, ki tvori gnezda in vključke ob rudnih rokavih. Ta dolomitizacija je torej genetsko mlajša od dolomitizacije žlahtnih ploskev.

S svincem bogati rudni rokavi nastopajo v gornjih, s cinkom bogati pa v spodnjih žlahtnih ploskvah. Povezanost rudnih rokavov z žlahtnimi ploskvami je razvidna iz 4. tabele.

Paragenezo rudišč v Bleibergu in Rutah sta podrobno raziskovala A. Tornquist (1927) in H. Jicha (1951, 714, 716, 728).

O izvoru oksidnih svinčevih mineralov v bleiberškem revirju pravi Tornquist: »Na velikih galenitovih kristalih ponekod v Bleibergu priraska anglezit in cerusit sta produkta preperevanja, ki nimata ničesar skupnega z orudnenjem wettersteinskega apnenca.«

Tudi drugi avtorji so obravnavali oksidne svinčeve minerale v Bleibergu. Rudišče v Rutah pa je bilo s te strani manj preiskano. Zato bomo podrobnejše podali značilnosti rudnih rokavov glede na oksidne svinčeve minerale, ki smo jih kemično in halkografsko določili v številnih vzorcih iz večine zruškov in odkopov na raznih obzorjih. Podatki kemične analize so navedeni v 6. tabeli.

Vzrok, da nastopajo v tej analizi težko topni svinčevi oksidi, mnogo bolj topni cinkovi oksidi pa ne, je v tem, da so ti zaradi mnogo večje topljivosti³ preneseni mnogo dalje.

³ Glej 5. tabelo na str. 175.

4. tabela

Razdelitev rudnih rokavov glede na žlahtne ploskve v rudišču Rute

5. tabela

Toplivost v gramih na liter

ZnSO ₄ 533,2	ZnCl ₂ 2,039	ZnCO ₃ 0,04 ?	Zn(NO ₃) ₂ 1,178
PbSO ₄ 0,041	PbCl ₂ 14,9	PbCO ₃ 0,001	Pb(NO ₃) ₂ 516,6

6. tabela

Lokaliteta oz. rud. rokav	Hori- zont	Pb %	Pb ox %	Zn %	Zn ox %	od celok. Pb ox Pb
1	2	3	4	5	6	7
1.	+ 7*	4,7	0,18	2,95	—	3,82
2. odkop	2	18,3	0,08	12,5	—	0,435
2. zrušek	— 2	5,45	0,04	20,2	—	0,729
2. odkop	+ 4	43,8	0,03	7,2	—	0,068
2. W-odkop	4	0,72	0,00	5,35	sledovi	—
2. E-odkop	— 4	6,40	0,08	19,5	—	1,245
2. W-odkop	— 4	25,40	0,32	5,6	—	1,245
2. E-odkop	+ 5	38,7	0,11	9,05	—	0,283
2. odkop	+ 5	4,65	0,07	4,80	—	1,505
2. odkop	— 7	29,60	0,04	14,2	—	0,135
2. zrušek	7	9,50	0,44	6,40	—	4,390
3. zrušek	7	0,38	0,14	5,35	—	27,0
3. W-zrušek	+ 7	2,15	0,10	35,20	—	4,47
3. E-zrušek	+ 7	12,30	0,31	22,40	—	2,46
4. odkop	+ 3	7,8	0,12	5,75	—	1,515
5. zrušek	— 8	31,4	—	22,5	—	—
		0,42	—	49,8	—	—
		0,26	0,12	50,1	—	31,6
6. odkop	+ 5	57,3	0,17	7,73	0,15	0,296
6. zrušek	5	54,7	0,36	4,15	sledovi	0,654
6. zrušek	— 6	22,3	0,27	8,7	—	1,2
7. odkop	+ 12	27,1	0,03	31,5	—	0,111
7. odkop	+ 12	19,6	sledovi	7,4	—	sledovi
7. odkop	13	0,06	—	0,25	—	—
8. zrušek	+ 10	37,2	0,39	6,3	—	1,05
8. odkop	11	0,75	0,61	15,3	0,02	44,8
8. odkop	+ 12	6,65	0,03	10,4	—	0,452
9. odkop	— 5	18,7	—	6,45	—	—
10. W-zrušek	+ 7	39,4	0,24	12,5	—	0,607
10. E-zrušek	+ 7	2,95	0,06	9,20	—	0,199
11. zrušek	+ 13	24,5	0,11	10,6	—	0,447
11. odkop	+ 12	6,3	0,02	9,1	—	0,318
12. odkop	+ 10	27,4	0,04	14,6	—	0,145
13. odkop	— 11	19,2	0,00	5,25	—	—
13. odkop	+ 12	21,5	—	9,95	—	—
14. odkop	— 4	4,95	sledovi	8,9	—	sledovi
14. N-zrušek	5	48,1	0,84	6,9	—	1,715
14. S-zrušek	5	10,5	0,14	5,95	—	1,505
15. zrušek	— 4	7,1	0,02	9,15	—	0,282
16. zrušek	+ 3	12,5	0,22	6,85	0,25	1,728

* + pomeni etažo nad, — etažo pod horizontom.

Lokaliteta oz. rud. rokav	Hori- zont	Pb %	Pb	Zn %	Zn	od celok.
			ox %		ox %	
1	2	3	4	5	6	7
17. zrušek	— 10	2,35	0,28	7,15	0,15	10,6
17. zrušek	— 10	36,5	0,07	4,7	—	0,192
18. odkop	— 3	23,6	0,05	7,6	sledovi	0,212
18. zrušek	— 3	31,4	0,07	7,75	—	0,223
18. odkop	+ 11	14,6	0,07	5,65	—	0,478
18. odkop	+ 12	19,2	—	11,5	—	—
19. odkop	+ 10	21,6	0,09	10,8	—	0,416
20. zrušek	+ 10	36,7	0,19	4,7	—	5,150
21. E-odkop	5	23,2	0,05	3,2	—	0,215
21. W-odkop	5	29,6	0,02	18,3	—	0,148
21. odkop	— 5	8,75	0,08	23,8	—	0,914
21. E-odkop	6	23,4	0,12	7,6	—	0,512
21. zrušek	— 6	4,35	0,03	5,8	—	0,689
22. zrušek	+ 5	14,7	0,03	16,5	—	0,204
23. E-odkop	12	0,64	—	36,2	—	—
24. odkop	— 7	37,4	0,03	8,8	—	0,08
25. odkop	+ 8	21,7	0,06	17,4	—	0,276
25. odkop	+ 8	1,35	0,03	5,6	—	0,222
25. odkop	+ 8	3,40	0,05	7,4	—	0,147
26. zrušek Fr. Jožef	12,3	2,55	19,61	1,75	—	—
27. odkop	— 8	2,85	0,06	11,8	—	1,726
28. zrušek	+ 7	24,2	0,13	22,9	—	0,535
29. zrušek	+ 6	12,8	0,12	8,25	—	0,930
29. zrušek	+ 7	5,2	0,23	3,60	—	4,420
29. zrušek	+ 8	22,5	0,04	5,85	—	0,178
29. zrušek	+ 12	62,8	0,72	3,55	sledovi	1,132

Povprečno vsebujejo zruški več oksidnih svinčevih mineralov kot odkopi, če upoštevamo, da je koncentracija svinčevega sulfida v zruških manjša kot v odkopih. To kaže na vpliv recentnih činiteljev na preperrevanje rude.

Halkografska preiskava ni bila vedno uspešna, ker vsebujejo nekateri vzorci manj kot 0,3 % svinčevega oksida. Na podlagi kemične in halkografske preiskave razdelimo oksidne svinčeve minerale na tri skupine:

1. starejši oksidni svinčevi minerali,
2. sekundarne tvorbe oksidacijskega pasu,
3. recentni svinčevi oksidi.

1. Starejši oksidni svinčevi minerali

Fluorit, sfalerit in galenit so ascendentni minerali. Starejši galenit je nadomeščen z mlajšim sfaleritom in fluoritom. Kristalni fluorit tvori v galenitu in sfaleritu vključke najrazličnejših oblik, delno pa nastopa idiomorfno v galenitu, vendar le v njegovem obrobnem delu. Našteti minerali so bili podvrženi kasnejšemu pritisku v zvezi s postgenetsko tektoniko. To dokazujejo zdrobljeni kristali galenita in sfalerita. Gale-

Nekatere značilnosti orudnenja v rudišču Rute
Some Characteristics of Mineralization in the Ore-Deposit of Rute

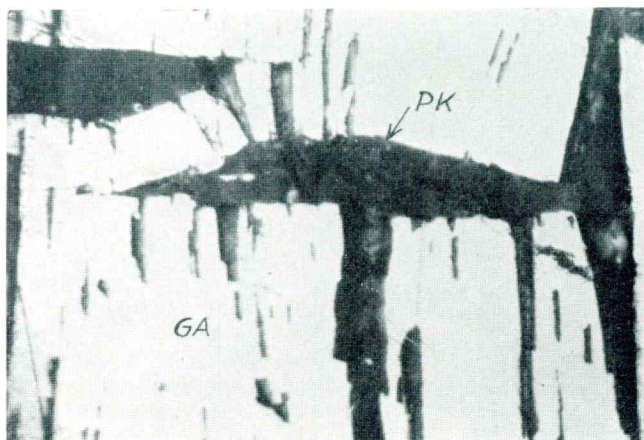
Starejši oksidni svinčevi minerali
Older lead oxide minerals

1. slika

Nahajališče 7¹, + 12². Polar., 270 ×.
Jedkano s konc. HF. Razpoke v
galenitu (GA) zapolnjene s plumbo-
kalcitom (PK).

Fig. 1.

Find-spot 7, + 12, Polar., 270 ×.
Etched with conc. HF. Cracks in
galena (GA) filled with plumbo-
calcite (PK).

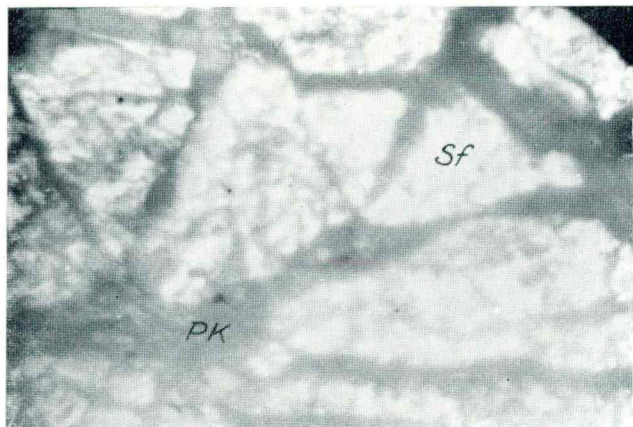


2. slika

Nahajališče 8, 11. Polar., 270 ×.
Jedkano s konc. HF. Razpoke v
sfaleritu (Sf) zapolnjene s plumbo-
kalcitom (PK).

Fig. 2.

Find-spot 8, 11. Polar., 270 ×. Et-
ched with conc. HF. Cracks in
sphalerite (Sf) filled with plumbo-
calcite (PK).



¹ Stevilo odkopa iz 6. tabele. — Number of stope.

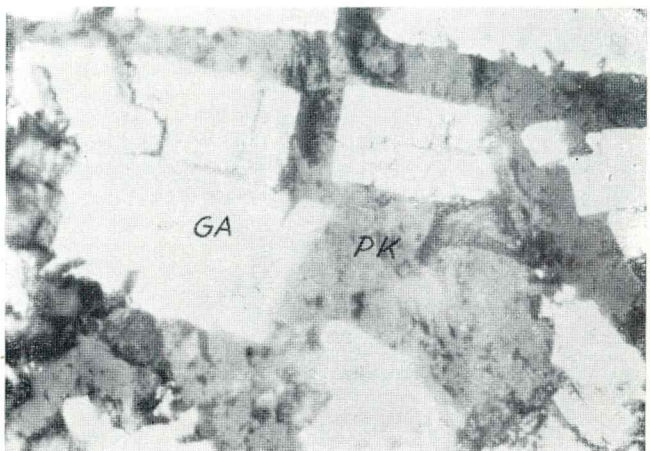
² Obzorje. — Level. + the slice above the level, — the slice below the level.

3. slika

Nahajališče 7, + 12. Polar., 270×.
Jedkano s konc. HF. Galenit (GA),
plumbokalcit (PK) in fluorit (Fl).

Fig. 3.

Find-spot 7, + 12. Polar., 270×.
Etched with conc. HF. Galena
(GA), plumbocalcite (PK) and
fluorite (Fl).

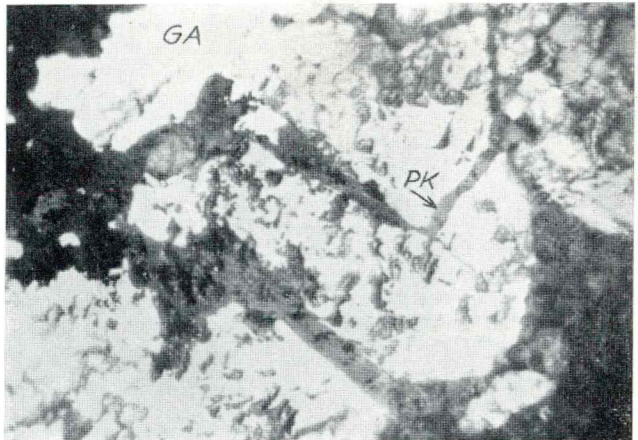


4. slika

Nahajališče 8, + 10. Polar., 270×.
Galenit (GA) in plumbokalcit (PK).

Fig. 4.

Find-spot 8, + 10. Polar., 270×.
Galenit (GA) and plumbocalcite
(PK).



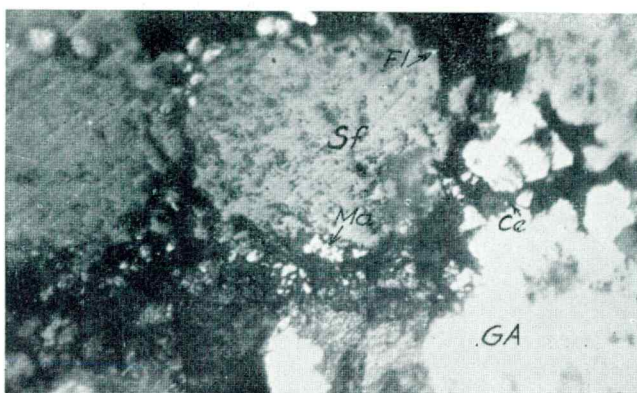
Sekundarni minerali oksidacijskega pasu
Secondary minerals of oxidation zone

5. slika

Nahajališče 2. E, + 5. Polar., 270 \times .
Galenit (GA), sfalerit (Sf), fluorit (Fl), markazit (MA) in cerusit (Ce).

Fig. 5.

Find-spot 2. E, + 5. Polar., 270 \times .
Galena (GA), sphalerite (Sf), fluo-
rite (Fl), marcasite (MA), and
cerussite (Ce).

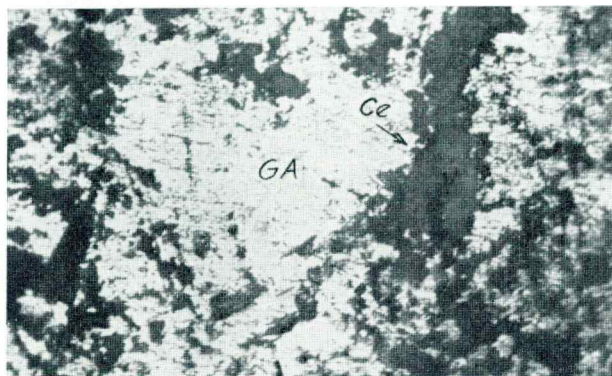


6. slika

Nahajališče 2. W, - 4. Polar., 270 \times .
Galenit (GA) in cerusit (Ce).

Fig. 6.

Find-spot 2. W, - 4. Polar., 270 \times .
Galena (GA) and cerussite (Ce).

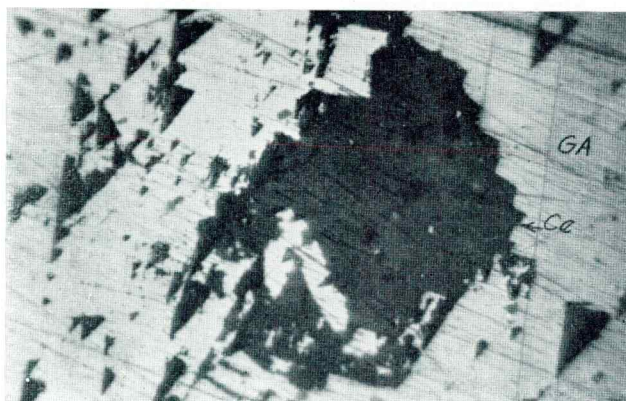


7. slika

Nahajališče 2. W, - 4. Polar., 270 \times .
Galenit (GA) in cerusit (Ce).

Fig. 7.

Find-spot 2. W, - 4. Polar., 270 \times .
Galena (GA) and cerussite (Ce).



Recentni svinčevi minerali

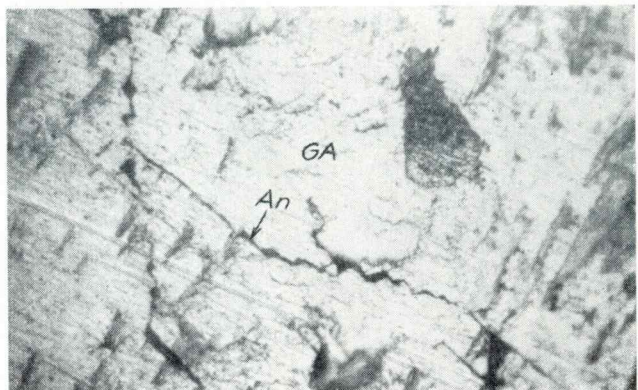
Recent lead oxides

8. slika

Nahajališče 14, 5. Polar., 270 \times . Galenit (GA) in anglezit (An).

Fig. 8.

Find-spot 14, 5. Polar., 270 \times . Galena (GA) and anglesite (An).

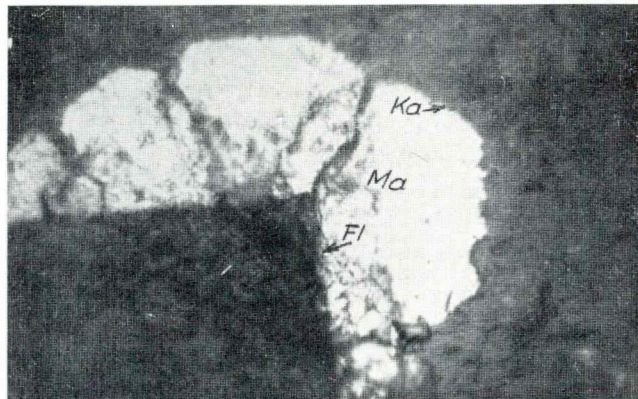


9. slika

Nahajališče 14, 5. Polar., 270 \times . Fluorit (Fl), markazit (Ma) in kalcit (Ka).

Fig. 9.

Find-spot 14, 5. Polar., 270 \times . Fluorite (Fl), marcasite (Ma) and calcite (Ka).



10. slika

Nahajališče 6, — 6. Polar., 270 \times . Markazit (Ma) in fluorit (Fl).

Fig. 10.

Find-spot 6, — 6. Polar., 270 \times . Marcasite (Ma) and fluorite (Fl).



nit [1]^{*} in sfalerit [2] sta s sistemom razpok popolnoma razkosana. Pri galenitu potekajo razpoke povečini vzdolž razkolnih ploskev, le včasih v poljubni drugi smeri. Pri sfaleritu ni opaziti zvezne med smerjo razpok in kristalno strukturo. Razpoke so zapolnjene s kalcitom, ki vsebuje v majhnih količinah $PbCO_3$.

Orudnenje galenita je starejše in je bilo podvrženo močnim tektonskim procesom [3 in 4].

V vseh teh primerih je bila izvršena kemična analiza ter ugotovljen $PbCO_3$ v količini 1—4 %. Gre za izomorfno zmes $CaCO_3$ in $PbCO_3$. Kristalna oblika $PbCO_3$ je pri cerusitu rombično-bipiramidalna, medtem ko kristalizira kalcit trigonalno-skalenoedrično. Ne bi mogli predpostaviti izomorfne zmesi, če bi $PbCO_3$ kristaliziral rombično-bipiramidalno. Vendar je poznana trigonalno skalenoedrična modifikacija $PbCO_3$ — plumbokalcit, ki more nastopiti s kalcitom v izomorfni zmesi. Plumbokalcit je F. Naumann (1885, 454) takole popisal: »Plumbokalcit je svinec vsebujoči kalcit. Predstavlja izomorfno zmes, pri kateri prevladuje $CaCO_3$ z nekaj $PbCO_3$ — $n CaCO_3 + PbCO_3$. Kristalizira romboedrično ($R = 105^{\circ}7'$), je razkolen, bel, s sijajem biserne matice in nekoliko mehkejši, toda težji od kalcita ($G = 2,77$ — $2,884$). V Bleibergu nastopajo na apnenu z 2—9 % $PbCO_3$ romboedri plumbokalcita, ki vsebujejo po Schöfleu nad 23 % $PbCO_3$. Plumbokalcit je zanimiv mineral, ker pri njem kristalizira $PbCO_3$ v zmesi s $CaCO_3$ romboedrično, drugače pa v tej kristalizacijski obliki ni poznan.«

Ti minerali nastopajo v predelu, za katerega so značilna velika postgenetska premikanja v zvezi z Dobračevim prelomnicom. To delovanje je tudi v mikrostrukturi dobilo izraz v neštetih razpokah in risih. Po nastanku rudišča je bilo ob dobraški prelomnici intenzivno termalno delovanje. Največji vpliv za pretvarjanje galenita v njegove oksidne produkte je pripisovati prav tem s CO_2 bogatim termam. Termalna delovanja potrjuje bleiberška terma, ki še danes izvira v jami; H. Holler (1935).

Ti starejši oksidni svinčevi minerali se nahajajo v relativno veliki globini do najnižjega horizonta. Zato jih ne moremo prištevati k oksidacijskemu pasu, temveč k mineralom, ki so nastali pod vplivom postgenetske terciarne delavnosti.

2. Sekundarne tvorbe oksidacijskega pasu

V to skupino spada večina rudnih rokavov revirja »Maks«, kjer nastopa cerusit kot mineral prave oksidacijske cone. Opazujemo ga že megaskopsko. V tem revirju pa nastopa v enem izmed rudnih rokavov (Lichtmessverhau) v družbi s hidrocinkitom **vulfenit**, kar kaže na descendentalni nastanek tega minerala.

V revirju Antoni rudišča Rute nastopa v najvišjih horizontih cerusit kot mineral pravega oksidacijskega pasu [5,6 in 7]. Mikroposnetki so bili vzeti iz rudnega rokava št. 2. K istemu tipu pripadajo še cerusiti rudnega rudnega rokava 16, 6, 4 in 2 na 5., 3. in 2. obzorju.

* S številkami v oglatih oklepajih so označeni mikroskopski posnetki.

3. Recentni svinčevi oksidi

Povprečne vrednosti za svinčeve okside iz 6. tabele v odkopih in zruških dobimo, če izračunamo aritmetično sredino iz podatkov kemične analize.

$$\text{za odkop} \frac{2,46}{35} = 0,070 \% \text{ Pb ox},$$

$$\text{za zruške} \frac{8,36}{29} = 0,288 \% \text{ Pb ox}.$$

Pb ox v odkopih: Pb ox v zruških = 1 : 4.

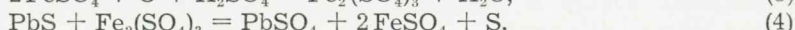
S tem je podana osnova za predpostavko, da so svinčevi oksidi delno produkt recentnih jamskih vod, ker je množina svinčevega oksida premo sorazmerna času učinkovanja teh vod, kajti pri zrušku je ta čas nekolikokrat večji.

Povprečni rezultati kemičnih analiz rude iz separacije so sledeči:

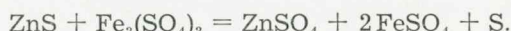
marec	april	maj	junij	julij	avgust
0,42	0,36	0,39	0,18	0,09	0,12 Pb ox

Ta analiza kaže, da vsebujejo vzorci, ki so bili vzeti tik pred separacijskim procesom, povprečno večji odstotek oksidov kakor vzorci iz odkopa ali zruška. Koncentracija torej narašča med potovanjem izkopanine od odkopov in zruškov do predelave. To opazujemo zlasti takrat, če se ruda kopiči v jamskih bunkerjih v času, ko separacija stoji. Povečanje koncentracije niha med letom; maksimum doseže v prvih mesecih, najmanjša pa je, ko pride ruda z odkopov neposredno v separacijo.

Proces oksidacije poteka po sledečih enačbah:



in za ZnS analogno:



Reakcije PbSO_4 (anglezit) oz. ZnSO_4 (cinkozit) s prihribino, v našem primeru z apnencem, tvorijo PbCO_3 (cerusit) oz. cinkov karbonat (smitsonit). Cinkov karbonat pa tvori dalje $\text{Zn}(\text{OH})_2 \text{ZnCO}_3$ (hidrocinkit). Reakcije v smeri (1) do (4) so možne le, če se H_2SO_4 , ki nastaja pri reakcijah (1) in (3), ne neutralizira zaradi prisotnosti CaCO_3 (s tvorbo CaSO_4 , CO_2 in H_2O). To pomeni, da so reakcije možne le tam, kjer obstajajo za reakcijo potrebne snovi, t. j. v rudnih rokavih, ki so bogati s FeS_2 . Tvorba $\text{Fe}_2(\text{SO}_4)_3$ v enačbi (3) je možna le pri prisotnosti proste kisline H_2SO_4 , kajti



Navedene reakcije v jami dejansko nastopajo. Ponovno so naleteli na smrdljive vode H_2S (glej reakcijo 2), mnogokrat pa poteka reakcija v obratnem smislu. Tako nastopajo recentne tvorbe $CaSO_4 \cdot 2H_2O$ v kristalih v bližini s FeS_2 bogate oolitne plasti, kjer včasih nastopajo velike količine $Fe(OH)_3 \cdot Fe(OH)_3$, je sicer bela oborina, ki pa je po oksidaciji kmalu umazano zelena, kasneje črna in končno rjava. Te rjave tvorbe v jami često nastopajo.

Obstoj $Fe_2(SO_4)_3$, ki ima važno vlogo pri oksidnih Pb mineralih, je možen v globokih ali pa odprtih prelomih s stoječo vodo, kjer se H_2SO_4 vedno znova tvori, ker je $Fe_2(SO_4)_3$ amfoterna sol, obstojna le v prisotnosti prostih kislin.

V skupino recentnih tvorb spadajo svinčevi oksidni minerali iz zruškov in deloma odkopov, kjer je galenit zaradi učinkovanja jamskih vod pretvorjen delno v $PbSO_4$ [8 in 9]. V rezultatih kemičnih analiz se sicer $PbSO_4$ posebej ne omenja, ker se skupno s $PbCO_3$ raztopi v ocetni kislini, ki je bila uporabljena za razklop oksidnih mineralov svinca. Obstoj $PbSO_4$ moremo dokazati na drug način.

Če primerjamo $Pb ox$, ki je v flotacijski jalovini s količino $Pb ox$ v rudi, po posameznih mesecih, dobimo sledeče stanje:

7. tabela

Mesec	$Pb ox$ v rudi	$Pb ox$ v jalovini	Obogatitev $= \frac{c}{a}$
Februar	—	0,16	—
Marec	0,27	0,22	0,19
April	0,32	0,15	0,21
Maj	0,28	0,17	0,39
Junij	0,15	0,09	0,40
Julij	0,13	0,08	0,39

V prvih mesecih leta je bilo razmerje obogatitve slabo, polagoma pa se je izboljšalo do meseca junija. Slabe obogatitve prve polovice leta moremo pojasniti s tem, da je v rudi neka svinčeva oksidna ruda, ki se težko flotira, ker se ne sulfidira z dodatkom Na_2S . Relativno dobre obogatitve v sredji leta pa je pripisovati zajemanju rude neposredno iz odkopov, zaradi česar ruda ni bila izpostavljena v toliki meri prepervanju. Svinčev oksidni mineral, ki je vzrok razlikam v flotiranju, je anglezit, kar je ugotovljeno z opazovanjem pod mikroskopom [8].

Za tvorbo anglezita je odločilna prisotnost markazita [10], ki omogoča reakcijo 1—4. Razpad markazita v FeS je v tem posnetku opaziti.

SOME CHARACTERISTICS OF MINERALIZATION IN THE ORE-DEPOSIT OF RUTE

At Rute near Bleiberg mineralization has been effected along the intersection of northwestern faults and the so called precious sheets. The chemical and other examinations have revealed a rather heterogeneous composition of the facies of these sheets, whereas that of the interstitial limestone has been found to be fairly homogeneous. Furthermore chemical analyses have shown other differences especially as to the content of alumina, iron oxide, and organic substances. The most striking difference, however, is in the dolomite content. In the precious sheets which are leading in mineralization, the ratio between CaCO_3 and MgCO_3 varies from 29 % to 43 % of MgCO_3 and 71 % to 57 % of CaCO_3 , whereas in the other sheets as well as in the interstitial limestone the ratio varies from 2 % to 8 % of MgCO_3 and 87 % to 92 % of CaCO_3 . In the precious sheets the characteristic features of dolomite are a regular fine grained texture and a laminated jointing.

The sole application of Ohle's data on the permeability of limestones and dolomites, to the conditions prevailing in the ore deposit of Rute, will show, without any concurrent empirical data, that the permeability of dolomites is greater than that of limestones.

Owing to the difference in permeability, the mineral solutions have been working their way along the lines of least resistance represented by the intersections of the precious sheets and faults. These intersections show a SE-NW trend and a SE dip. The direction of faults is NW-SE, that of the precious sheets E-W with a dip southwards. Limestone being the least resistent mineral was metasomatically replaced along these intersections by mineral solutions. Both conditions, the first depending on physical, the other on chemical properties, of the rock, have given rise to the characteristic form of ore-lodes.

Magnesium carbonate contained in the mineral solutions effected the dolomitization of the Wetterstein Limestone along the ore-lodes. Thus the irregularly-grained, porous dolomite forming nests and inclusions along the ore lodes, had been crystalized. Consequently dolomitization has been here effected later than in the precious sheets.

The second part of the paper contains data on the occurrence of lead oxide-minerals in the ore-deposit of Rute.

Chalcographic and chemical examinations of specimens taken from most stopes and cavings located on different horizons, have revealed that, on an average, cavings, although poor in lead sulphides are rich in lead oxide minerals. This would indicate that recent factors must have effected the weathering of the ore.

On the basis of chalcographic and chemical examinations lead oxide minerals can be devided in the following three groups:

1. older lead oxide minerals,
2. secondary minerals of oxidation zones,
3. recont lead oxides.

To the first group belong specimens representing galena, sphalerite and fluorite. These minerals have later been subjected to post-genetic tectonic pressures, an evidence of which are the crushed crystals of galena with cracks following cleavage-planes, and crystals of sphalerite in which no correspondence is found between cracks and crystal structure. Cracks are filled with calcite containing small quantities of the trigonal-scalenoedric modification of $PbCO_3$. This group of lead oxide-minerals occurs in an area characterized by extensive post-genetic movements which had given rise to the Dobrač-fault. After the formation of the ore-deposit an intensive thermal activity set in along the fault of Dobrač, which effected the transition of galena into its oxidation products.

To the second group belong most ore lodes of the Max-field (with cerusite as a mineral of the true oxidation zone) and some of the ore-lodes of the Antony-field.

To the third group belong recent lead oxides which are partly products of the underground-water action upon sulphides, an evidence of which is the percentage of lead oxide in stopes (0,07 %) and in cavings (0,228 %), for, the amount of lead oxide depends on the duration of underground water action. In addition to this it has been found that the specimens taken for analysis shortly before the separation treatment, contain on an average, a greater percentage of oxide than those taken directly from stopes or cavings. Thus the concentration of oxides increases on the way from stopes and cavings to the chutes and bunkers.

LITERATURA

- Alcock, F. J., Zinc and Lead Deposits of Canada.
Barth—Correns—Eskola, 1939, Die Entstehung der Gesteine, Springer, Berlin.
Blumer, E., 1922, Die Erdöllagerstätten. Grundlagen der Petroleum-geologie. Stuttgart.
Holler, H., 1935, Die Bleiberger Therme. Canaval Festschrift (Carinthia II).
Holler, H., 1936, Die Tektonik der Bleiberger Lagerstätte. VII. Sonderheft der Carinthia II.
Jicha, H., 1951, Alpine Lead-Zinc Ores of Europe, Economic Geology. 46.
Naumann, C. F., 1885, Elemente der Mineralogie. Leipzig.
Newhouse, W. H., 1928, The time sequence of hypogene ore minerals deposition. Economic Geology.
O hle, Ernest L., 1951, The influence of permeability on ore distribution in limestone and dolomite, Economic Geology. 46.
R ove, Olaf, 1947, Some physical characteristics of certains favourable and unfavourable ore horizons, Economic Geology. 42.
Schroll, E., 1949, Über die Anreichungen von Mo und V in der Huttonzone der Pb-Zn-Lagerstätten Bleiberg-Kreuth in Kärnten. Verh. der geol. Bundesanstalt, Bd 4—6, Wien.
Tornquist, A., 1927, Die Blei-Zinkerzlagerstätte von Bleiberg-Kreuth in Kärnten, Springer, Wien.

VAŽNEJŠI POPRAVKI — IMPORTANT CORRECTIONS

Stran Page	Vrsta Line	Čitaj pravilno Read correctly	namesto instead of
12	6	H a c q u e t	H a q u e t
34	44	prospecting	prospecting
35	25	description	discription
35	47	geologically	geoloically
36	17	H a c q u e t	Ma queto
36	18	izpusti — leave out	Ma queto
68	11	v glavnem v laškem	v glavnem laškem
81	11	locally	localy
85	45	one observes	on observes
89	22	embedded	ambedded
99	22	roženca	rogovca
100	8	apnenci z	apnenci in
117	18	structure	pattern
117	42	is crossed	in crossed
133	47	It has	In has
260	5	Geolo-	geolo-
272	7	razdeljeno	radzdeljeno
274	28	psilomelana	psilomena